

บทที่ 3

ผลการวิจัย

ตอนที่ 1 การศึกษาค่าความแข็งแรงกระแทก

ค่าความแข็งแรงกระแทกเฉลี่ยของกลุ่มทดลอง 6 กลุ่ม พนวฯ กลุ่มนี้มีค่าความแข็งแรงกระแทกเฉลี่ยจากสูงสุดไปต่ำสุด คือ กลุ่ม MF, กลุ่ม DF, กลุ่ม PMF-3, กลุ่ม PMF-2, กลุ่ม PMF-1, และกลุ่ม C ดังแสดงในตารางที่ 2 โดยที่กลุ่มที่ใส่เส้นไข่เพื่อเสริมแรงทั้ง 5 กลุ่ม มีค่าความแข็งแรงกระแทกเพิ่มขึ้นตั้งแต่ 6.6-17.2 เท่า เมื่อเปรียบเทียบกับกลุ่มควบคุมที่ไม่ได้ใส่เส้นไข่ (กลุ่ม C)

ตารางที่ 2 แสดงค่าความแข็งแรงกระแทกเฉลี่ยของเรซินอะคริลิก (พุต-ปอนด์ / นิวตัน)

กลุ่มทดลอง	ค่าความแข็งแรงกระแทกเฉลี่ย ± ค่าเบี่ยงเบนมาตรฐาน	ค่าต่ำสุดที่วัดได้	ค่าสูงสุดที่วัดได้
C	0.439 ± 0.020	0.411	0.478
DF	6.078 ± 1.055	5.062	7.961
MF	7.543 ± 1.487	4.433	9.877
PMF-1	2.914 ± 0.414	2.068	3.450
PMF-2	2.936 ± 0.468	2.365	4.063
PMF-3	4.498 ± 0.930	3.145	5.828

| แสดงกลุ่มที่ไม่แตกต่างกัน ที่ระดับนัยสำคัญ 0.05

จากการวิเคราะห์ทางสถิติคริสตัล-วาลลิส พนวฯ ค่าความแข็งแรงกระแทกระหว่างกลุ่มมีความแตกต่างกันอย่างมีนัยสำคัญ ($p=0.000$) และเมื่อทำการเปรียบเทียบเชิงช้อนแบบ LSD

(ดูภาคผนวก) พบว่า ทุกกลุ่มมีความแตกต่างกันอย่างมีนัยสำคัญ ($p<0.05$) ยกเว้นระหว่างกลุ่ม PMF-1 และกลุ่ม PMF-2 ดังแสดงในตารางที่ 3

ตารางที่ 3 แสดงลำดับเฉลี่ย (mean rank) ของค่าความแข็งแรงกระแทกของเรซินอะคริลิก

กลุ่มทดลอง	ลำดับเฉลี่ย
C	5.50
DF	46.10
MF	53.20
PMF-1	21.30
PMF-2	20.45
PMF-3	36.45

| แสดงกลุ่มที่ไม่แตกต่างกัน ที่ระดับนัยสำคัญ 0.05

(ค่าวิกฤต ที่ได้จากการคำนวณด้วยสูตรการเปรียบเทียบเชิงชี้อนแบบ LSD เท่ากับ 5.373)

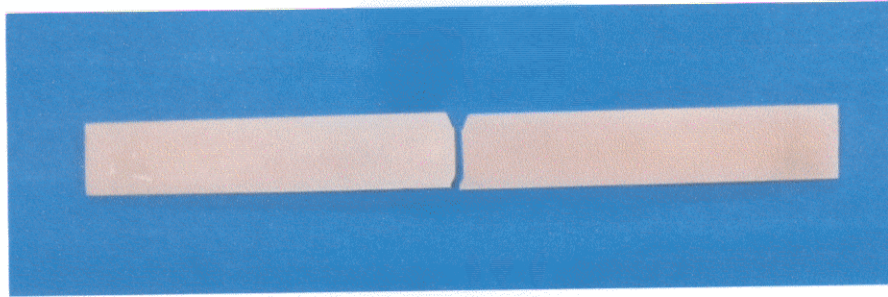
หมายเหตุ

- กลุ่ม C กลุ่มควบคุมที่ไม่ได้ใส่เส้นไข้
- กลุ่ม DF กลุ่มที่ใส่เส้นไข้แห้ง
- กลุ่ม MF กลุ่มที่แซ่บเส้นไข้ในมอนอเมอร์
- กลุ่ม PMF-1 กลุ่มที่แซ่บเส้นไข้ในสารละลายน้ำมันอเมอร์-มอนอเมอร์ ที่อัตราส่วน 0.375 ต่อ 1 โดยน้ำหนัก
- กลุ่ม PMF-2 กลุ่มที่แซ่บเส้นไข้ในสารละลายน้ำมันอเมอร์-มอนอเมอร์ ที่อัตราส่วน 0.75 ต่อ 1 โดยน้ำหนัก
- กลุ่ม PMF-3 กลุ่มที่แซ่บเส้นไข้ในสารละลายน้ำมันอเมอร์-มอนอเมอร์ ที่อัตราส่วน 1.25 ต่อ 1 โดยน้ำหนัก

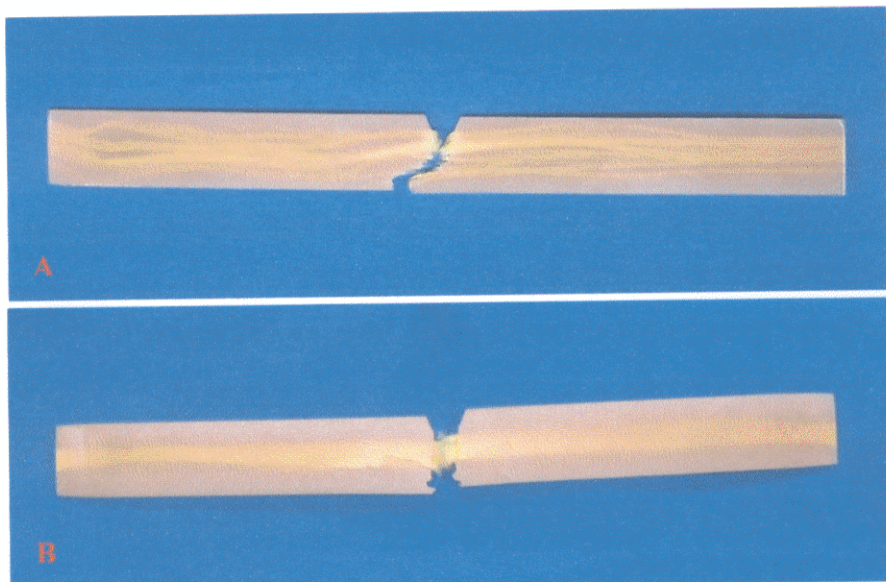
จากการศึกษาลักษณะการแตกหักของชิ้นทดสอบ พบรักษณะการแตกหัก 2 รูปแบบ คือ (1) มีการแตกหักอย่างสมบูรณ์ทำให้ชิ้นทดสอบแยกออกเป็นสองส่วน และ (2) มีการแตกหักแบบไม่สมบูรณ์โดยเส้นไปไม่ขาดออกจากกันทั้งหมดทำให้ยังคงชิ้นทดสอบทั้งสองส่วนได้ดังแสดงในตารางที่ 4 กลุ่มที่มีความแข็งแรงกระแทกสูงได้แก่ กลุ่ม DF และ MF พบรีมาณ์ชิ้นทดสอบที่มีการแตกหักแบบไม่สมบูรณ์ร้อยละ 30-50 แต่ไม่พบรความสัมพันธ์ระหว่างรูปแบบของการแตกหักและค่าความแข็งแรงกระแทกที่วัดได้ กลุ่มที่ไม่ได้ใส่เส้นไขมีรอยแตกค่อนข้างเป็นเส้นตรงผ่านรอบวง ดังแสดงในรูปที่ 14 ขณะที่กลุ่มที่ใส่เส้นไขมีรอยแตกตรงหรือทึบแข็งไปตามแนวของเส้นไข ดังแสดงในรูปที่ 15 และพบมีเส้นไขถูกดึงหลุดออกจากเรซินอะคริลิกบางส่วน นอกจากนี้รอยแตกมีลักษณะขรุขระกว่าแบบไม่ได้ใส่เส้นไข

ตารางที่ 4 แสดงความถี่ของการแตกหักในแต่ละกลุ่มทดสอบในรูปแบบต่างๆ (ชิ้น)

กลุ่มทดสอบ	ลักษณะการแตกหัก	
	มีการแตกหักอย่างสมบูรณ์	มีการแตกหักแบบไม่สมบูรณ์
C	10	-
DF	7	3
MF	5	5
PMF-1	10	-
PMF-2	10	-
PMF-3	10	-
รวม	52	8

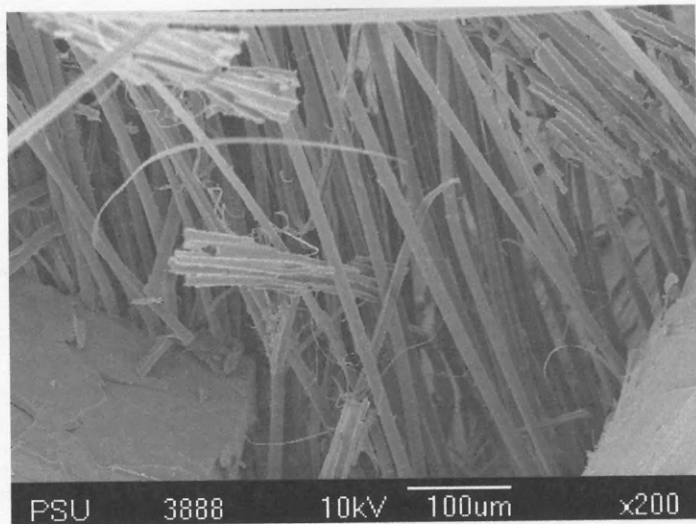


รูปที่ 14 แสดงลักษณะการแทกหักอย่างสมบูรณ์ในกลุ่มที่ไม่ได้ใส่เส้นไป

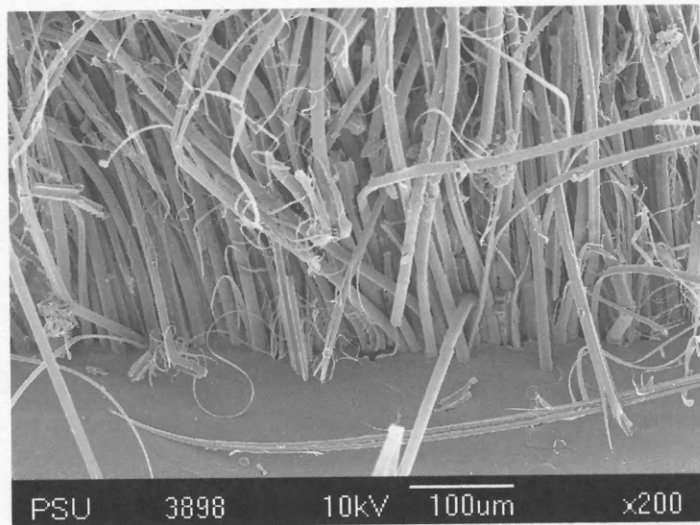


รูปที่ 15 แสดงลักษณะการแทกหักในกลุ่มที่ใส่เส้นไป การแทกหักอย่างสมบูรณ์(A) และ การแทกหักแบบไม่สมบูรณ์ (B)

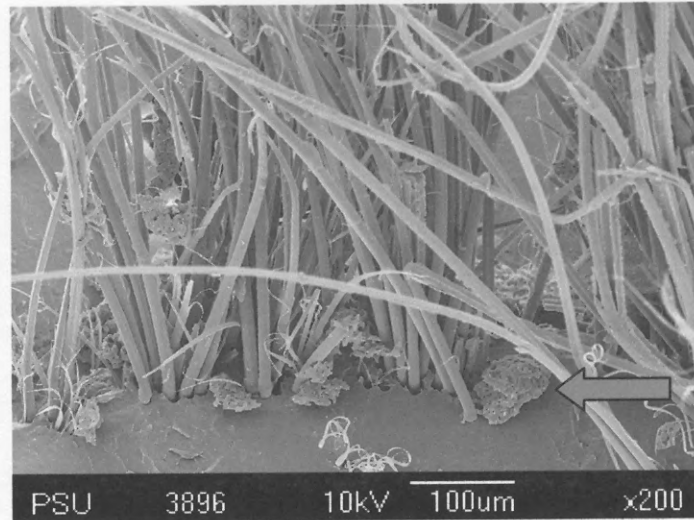
จากการศึกษารอยแทกโดยใช้จากกล้องจุลทรรศน์อิเลคตรอนแบบส่องกราด พบร่วมกันว่า เส้นใยอะรามิดมีการบีดเกาะกับเรซินอะคริลิกน้อยมาก พบร่องว่างที่เกิดขึ้นจากการที่เส้นใยถูกดึงออกมานอกจากส่วนของเมทริกซ์ที่เป็นเรซินอะคริลิก และมีเรซินอะคริลิกก่อตัวเป็นก้อนเล็กๆ เกาะที่เส้นใยในกลุ่มที่มีการแทกหักเส้นใยในสารละลายพอลิเมอร์-มอนโอมอร์ ได้แก่ กลุ่ม PMF-1, กลุ่ม PMF-2, และกลุ่ม PMF-3 ดังแสดงในรูปที่ 16-20



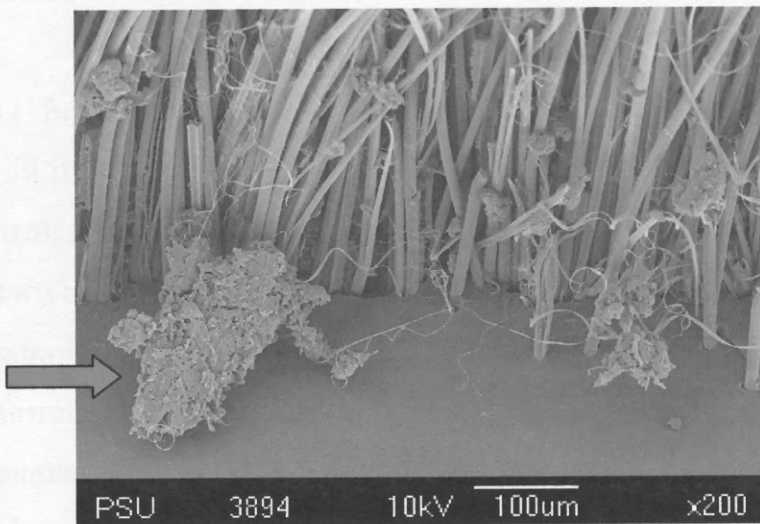
รูปที่ 16 แสดงการยึดเกาะระหว่างเส้นใยอะรามิดและเรซินอะคริลิกด้วยภาพจากกล้องจุลทรรศน์อิเลคทรอนแบบส่องกราด กำลังขยาย 200 เท่า ในบริเวณรอยแตกหักของชิ้นทดสอบกลุ่ม DF



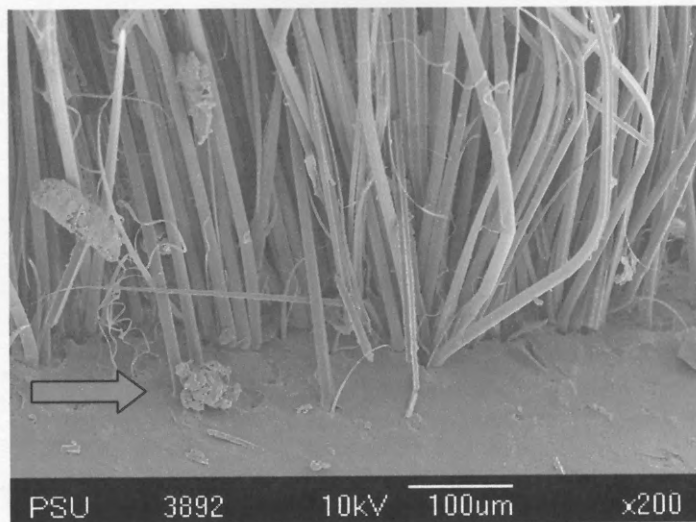
รูปที่ 17 แสดงการยึดเกาะระหว่างเส้นใยอะรามิดและเรซินอะคริลิกด้วยภาพจากกล้องจุลทรรศน์อิเลคทรอนแบบส่องกราด กำลังขยาย 200 เท่า ในบริเวณรอยแตกหักของชิ้นทดสอบกลุ่ม MF



รูปที่ 18 แสดงการยึดเกาะระหว่างเส้นใยอะรามิดและเรซินอะคริลิกด้วยภาพจากกล้องจุลทรรศน์อิเลคทรอนแบบส่องกราด กำลังขยาย 200 เท่า ในบริเวณรอยแตกหักของชิ้นทดสอบกลุ่ม PMF-1 (ลูกศรแสดงถึงตำแหน่งที่เรซินอะคริลิกมีการก่อตัวเป็นก้อนเล็กๆ)



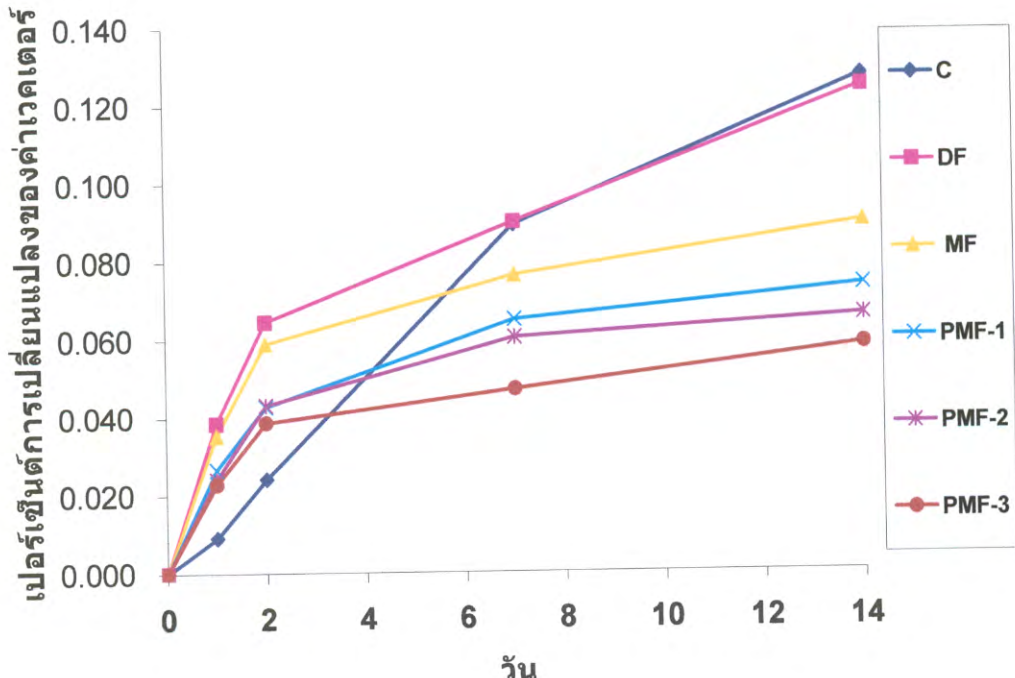
รูปที่ 19 แสดงการยึดเกาะระหว่างเส้นใยอะรามิดและเรซินอะคริลิกด้วยภาพจากกล้องจุลทรรศน์อิเลคทรอนแบบส่องกราด กำลังขยาย 200 เท่า ในบริเวณรอยแตกหักของชิ้นทดสอบกลุ่ม PMF-2 (ลูกศรแสดงถึงตำแหน่งที่เรซินอะคริลิกมีการก่อตัวเป็นก้อนเล็กๆ)



รูปที่ 20 แสดงการยึดเกาะระหว่างเส้นใยอะรามิคและเรซินอะคริลิกด้วยภาพจากกล้องจุลทรรศน์อิเล็กตรอนแบบส่องกราด กำลังขยาย 200 เท่า ในบริเวณรอยแตกหักของชิ้นทดสอบกุ่ม PMF-3 (ลูกศรแสดงถึงตำแหน่งที่เรซินอะคริลิกมีการก่อตัวเป็นก้อนเล็กๆ)

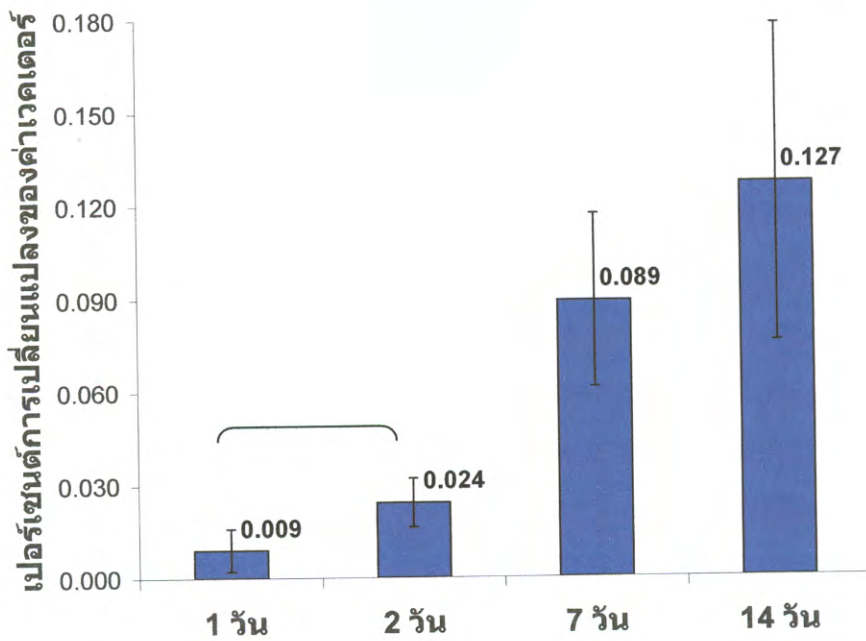
ตอนที่ 2 การศึกษาการเปลี่ยนแปลงทางมิติ

เรซินอะคริลิกทุกกลุ่มเกิดการเปลี่ยนแปลงทางมิติโดยเกิดการขยายตัวตลอดช่วงเวลา 14 วันที่ทดสอบและแสดงแนวโน้มของการเปลี่ยนแปลงมิติที่น้อยลงเมื่อเวลาผ่านไป ดังแสดงในรูปที่ 21 โดยในกลุ่มที่ใส่เส้นใยทุกกลุ่มมีการเปลี่ยนแปลงมิติเกิดขึ้นมากในช่วง 2 วันแรก และเกิดการเปลี่ยนแปลงมิตามากกว่ากลุ่มที่ไม่ได้ใส่เส้นใยซึ่งสังเกตได้จากการความชันของกราฟ เมื่อพิจารณาเฉพาะในกลุ่มที่ใส่เส้นใยพบว่า กลุ่มที่มีการแร่เส้นใยในสารละลายน้ำมีการเปลี่ยนแปลงมิติน้อยกว่ากลุ่มที่ใส่เส้นใยแห้งและกลุ่มที่แร่เส้นใยในน้ำมีการเปลี่ยนแปลงมิติน้อยกว่ากลุ่มที่ใส่เส้นใยในสารละลายน้ำ 14 วันที่ทำการทดสอบ และกลุ่มที่มีการเปลี่ยนแปลงมิติต่ำที่สุด คือ กลุ่มที่แร่เส้นใยในสารละลายน้ำมีการเปลี่ยนแปลงมิติต่ำที่สุด ที่อัตราส่วน 1.25 ต่อ 1 โดยนำหน้า (กลุ่ม PMF-3)

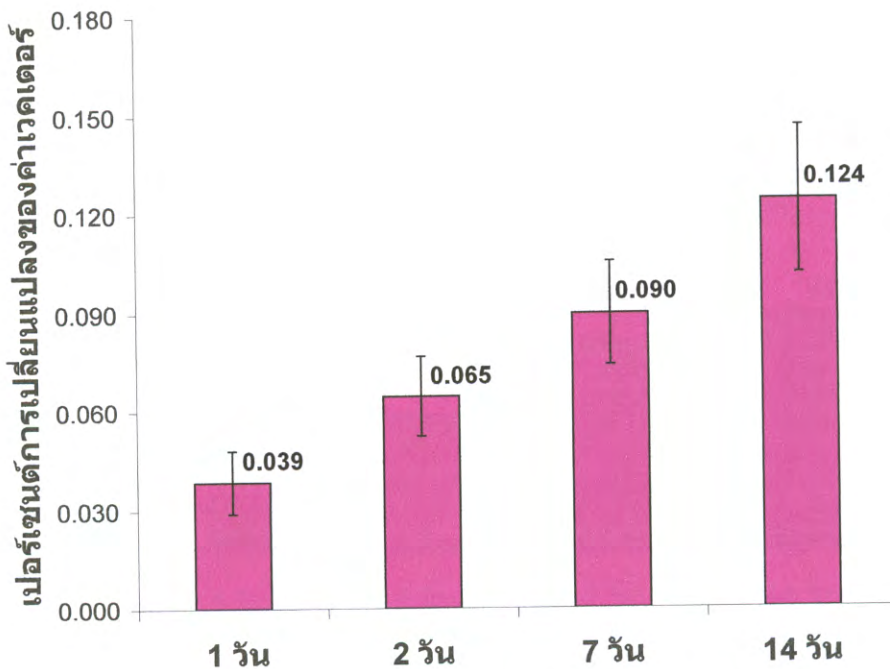


รูปที่ 21 แสดงกราฟเปอร์เซนต์การเปลี่ยนแปลงของค่าเวคเตอร์ในระยะเวลา 14 วัน ที่มีการแข็งน้ำ

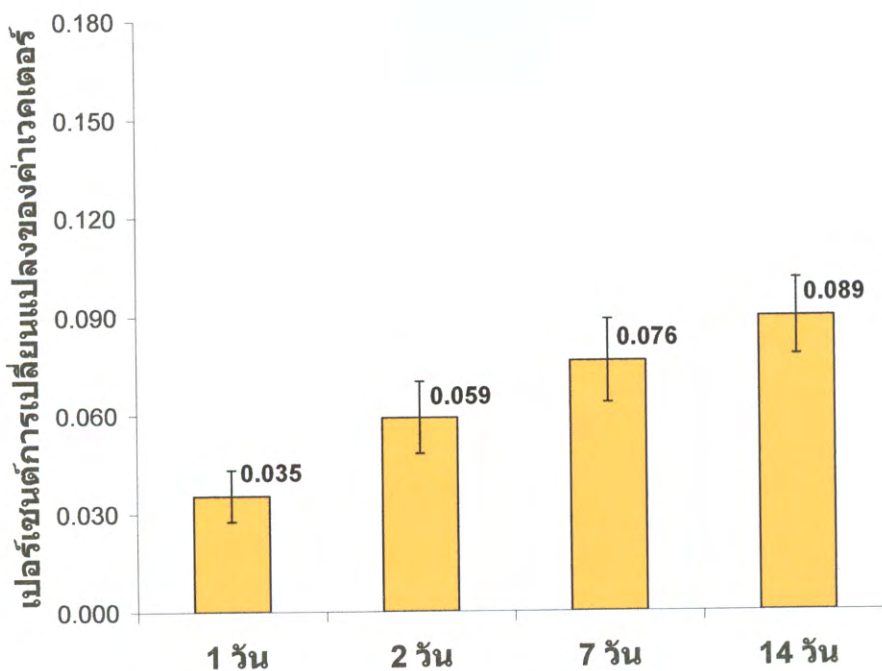
เมื่อเปรียบเทียบภายในแต่ละกลุ่ม โดยใช้การวิเคราะห์ความแปรปรวนแบบทางเดียว พนบว่า การเปลี่ยนแปลงมิติที่เกิดขึ้นภายในแต่ละกลุ่ม ณ ช่วงเวลาต่างๆ มีความแตกต่างกันอย่างมีนัยสำคัญ ($p=0.000$) และเมื่อทำการเปรียบเทียบเชิงช้อนแบบ Tukey HSD พนบว่า ในกลุ่ม C, กลุ่ม DF, และกลุ่ม MF การเปลี่ยนแปลงมิติระหว่างการแข็งน้ำในวันที่ 7 และ 14 วัน มีความแตกต่างกันอย่างมีนัยสำคัญ ($p=0.033, 0.000$, และ 0.045 ตามลำดับ) ในขณะที่กลุ่มที่แข็งน้ำสืบายน้ำในสารละลายนอลิเมอร์-มอนомнอร์ทั้ง 3 กลุ่ม การเปลี่ยนแปลงมิติระหว่างการแข็งน้ำในวันที่ 7 และ 14 วัน ไม่มีความแตกต่างกันอย่างมีนัยสำคัญ ($p=0.653, 0.851$, และ 0.081 ตามลำดับ) ดังแสดงในรูปที่ 22-27 แสดงให้เห็นว่าในกลุ่มที่แข็งน้ำสืบายน้ำในสารละลายนอลิเมอร์-มอนомнอร์เริ่มมีขนาดคงที่ หลังจากแข็งน้ำเป็นเวลา 7 วัน



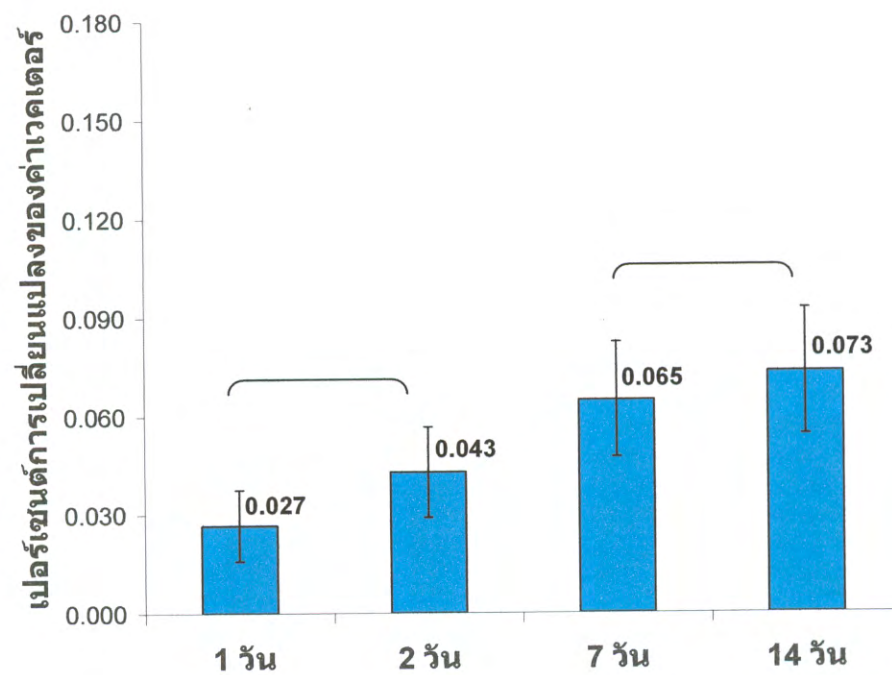
รูปที่ 22 แสดงกราฟเปอร์เซนต์การเปลี่ยนแปลงของค่าเวคเตอร์ในกลุ่ม C ที่เวลาต่างๆ
(□ คือ ไม่มีความแตกต่างกัน ที่ระดับนัยสำคัญ 0.05)



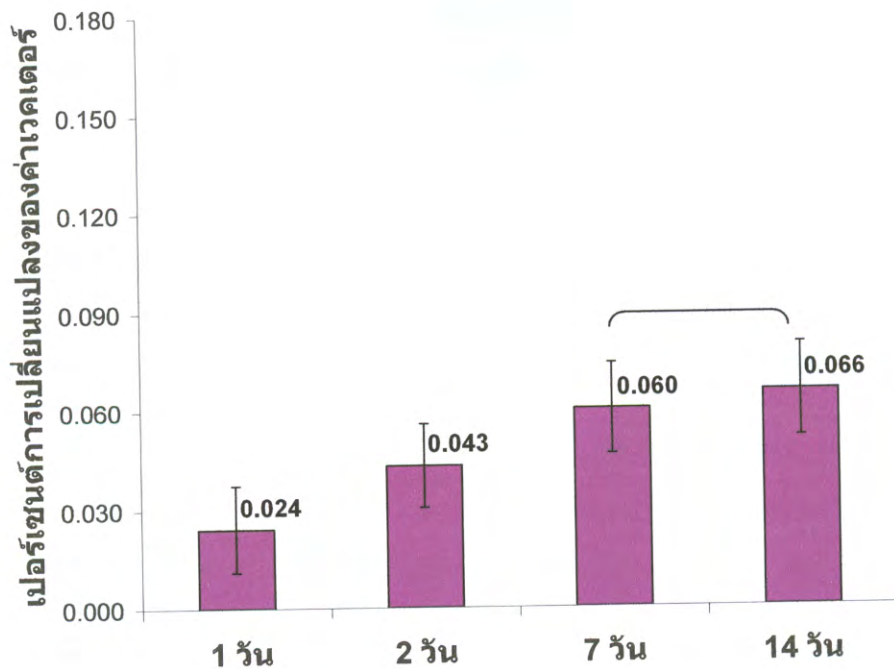
รูปที่ 23 แสดงกราฟเปอร์เซนต์การเปลี่ยนแปลงของค่าเวคเตอร์ในกลุ่ม DF ที่เวลาต่างๆ



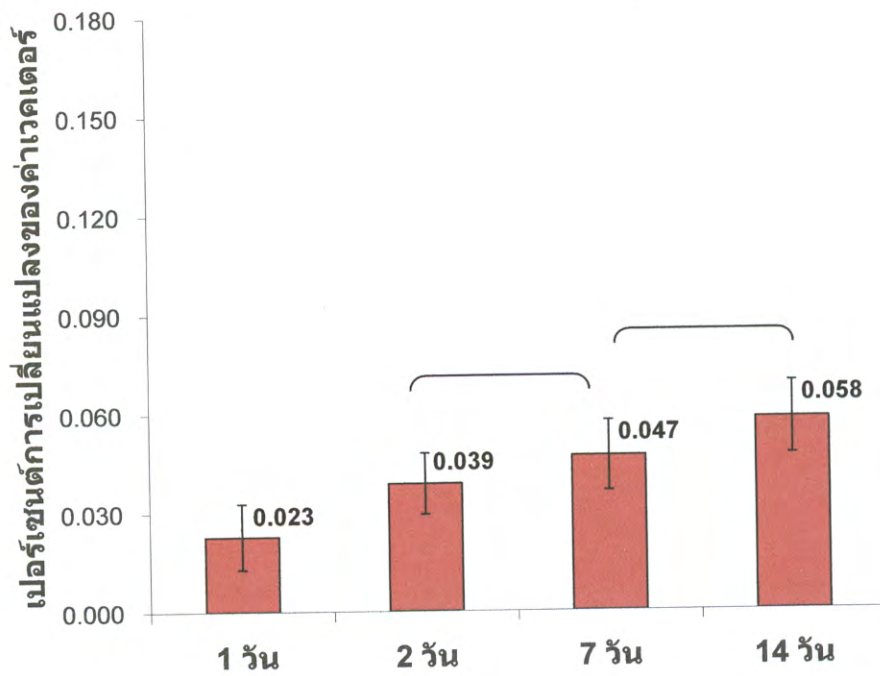
รูปที่ 24 แสดงกราฟเปอร์เซนต์การเปลี่ยนแปลงของค่าเวคเตอร์ในกลุ่ม MF ที่เวลาต่างๆ



รูปที่ 25 แสดงกราฟเปอร์เซนต์การเปลี่ยนแปลงของค่าเวคเตอร์ในกลุ่ม PMF-1 ที่เวลาต่างๆ
(— คือ ไม่มีความแตกต่างกัน ที่ระดับนัยสำคัญ 0.05)

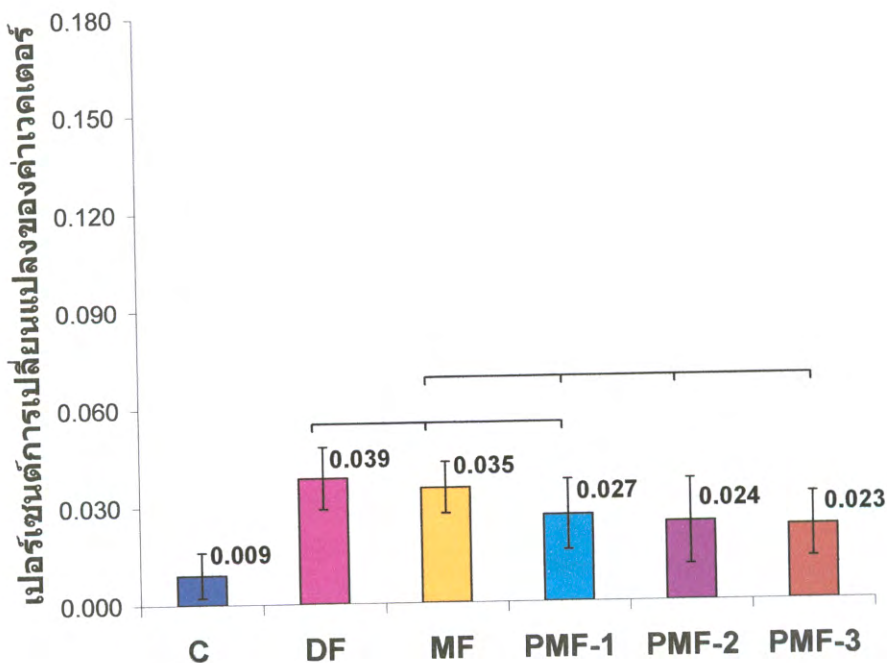


รูปที่ 26 แสดงกราฟเปอร์เซนต์การเปลี่ยนแปลงของค่าเวคเตอร์ในกลุ่ม PMF-2 ที่เวลาต่างๆ
(□ คือ ไม่มีความแตกต่างกัน ที่ระดับนัยสำคัญ 0.05)

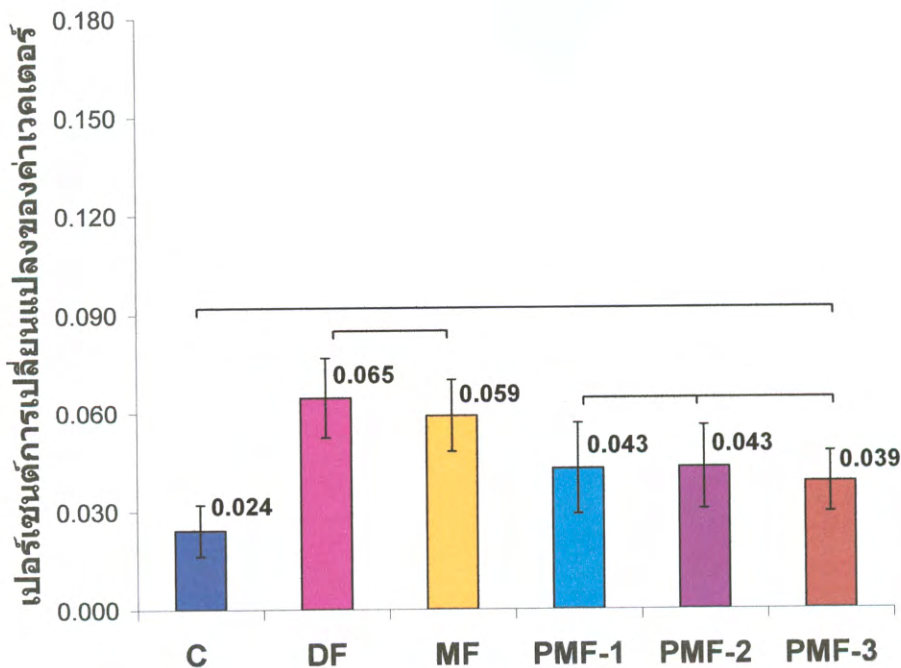


รูปที่ 27 แสดงกราฟเปอร์เซนต์การเปลี่ยนแปลงของค่าเวคเตอร์ในกลุ่ม PMF-3 ที่เวลาต่างๆ
(□ คือ ไม่มีความแตกต่างกัน ที่ระดับนัยสำคัญ 0.05)

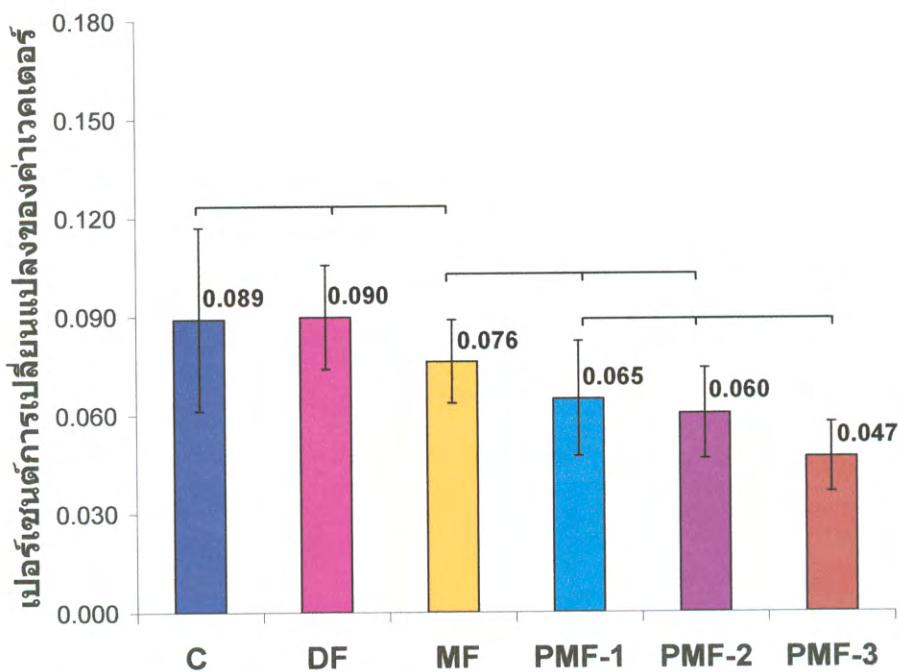
เมื่อเปรียบเทียบระหว่างกลุ่ม โดยใช้การวิเคราะห์ความแปรปรวนแบบทางเดียวพบว่า ในช่วงเวลาเดียวกัน การเปลี่ยนแปลงมิติระหว่างกลุ่มนี้มีความแตกต่างกันอย่างมีนัยสำคัญ ($p=0.000$) และเมื่อทำการเปรียบเทียบเชิงช้อนแบบ Tukey HSD พบว่า ในวันที่ 1 กลุ่ม C มีการเปลี่ยนแปลงมิติกิดขึ้นน้อยกว่ากลุ่มอื่นๆ อย่างมีนัยสำคัญ ($p<0.05$) แต่เมื่อเวลาผ่านไปจนถึงวันที่ 14 กลุ่ม C และ DF มีการเปลี่ยนแปลงมิติกิดขึ้นมากกว่ากลุ่มอื่นๆ อย่างมีนัยสำคัญ ($p<0.05$) และตลอดทั้ง 14 วัน ไม่พบความแตกต่างของการเปลี่ยนแปลงมิติระหว่างกลุ่มที่แห่งสื้นไปในสารละลายพอลิเมอร์-นอนอเมอร์ทั้ง 3 กลุ่ม



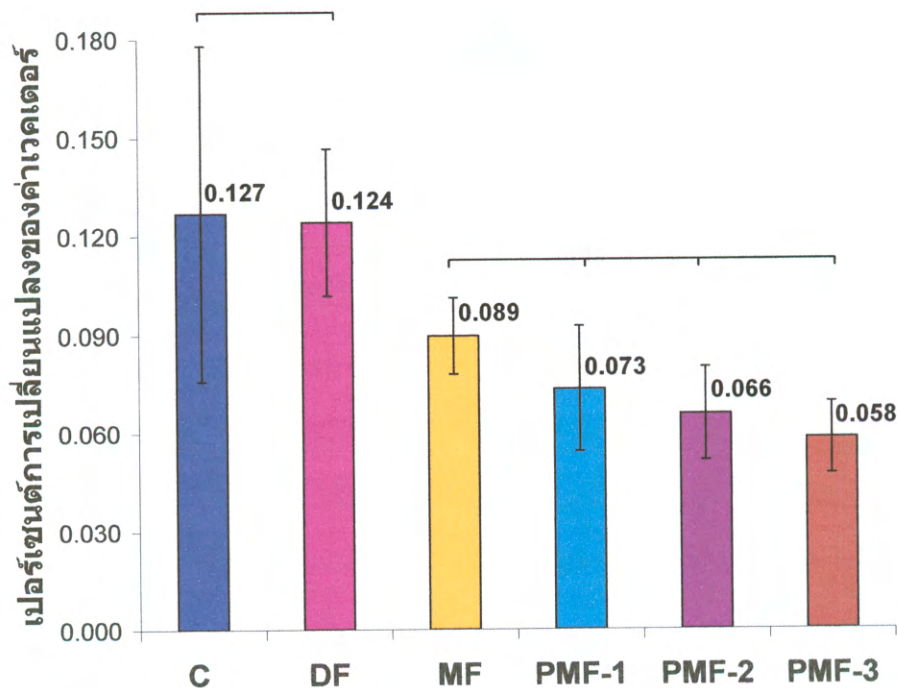
รูปที่ 28 แสดงกราฟเปอร์เซนต์การเปลี่ยนแปลงของค่าเวคเตอร์ระหว่างกลุ่มที่เวลา 1 วัน
(— คือ ไม่มีความแตกต่างกัน ที่ระดับนัยสำคัญ 0.05)



รูปที่ 29 แสดงกราฟเบื้อร์เซนต์การเปลี่ยนแปลงของค่าเวกเตอร์ระหว่างกลุ่มที่เวลา 2 วัน
(□ คือ ไม่มีความแตกต่างกัน ที่ระดับนัยสำคัญ 0.05)



รูปที่ 30 แสดงกราฟเบื้อร์เซนต์การเปลี่ยนแปลงของค่าเวกเตอร์ระหว่างกลุ่มที่เวลา 7 วัน
(□ คือ ไม่มีความแตกต่างกัน ที่ระดับนัยสำคัญ 0.05)



รูปที่ 31 แสดงกราฟเปรียบเทียบการเปลี่ยนแปลงของค่าเวกเตอร์ระหว่างกลุ่มที่เวลา 14 วัน
(￣ คือ ไม่มีความแตกต่างกัน ที่ระดับนัยสำคัญ 0.05)